

## بررسی تنوع ژنتیکی ژرم پلاسم‌های وارداتی عدس موجود در کلکسیون دانشکده کشاورزی کرج با استفاده از نشانگر مولکولی RAPD

مرضیه نوری گوغری<sup>۱\*</sup>، حسین دشتی<sup>۱</sup>، شهاب مداح حسینی<sup>۲</sup> و الهام دهقان<sup>۳</sup>

<sup>۱</sup>، دانشجوی کارشناسی ارشد، <sup>۲</sup>، دانشیار، <sup>۳</sup>، استادیار و <sup>۴</sup> مرتبی پژوهشی دانشکده کشاورزی دانشگاه ولی‌عصر رفسنجان  
(تاریخ دریافت: ۹۲/۹/۴ - تاریخ تصویب: ۹۳/۳/۱۴)

### چکیده

تنوع ژنتیکی، اساس موفقیت در بهبود کمیت و کیفیت گیاهان زراعی است. شناخت تنوع و پتانسیل ژنتیکی هر گونه گیاهی در اصلاح نباتات ضرورت دارد. در این مطالعه تنوع ژنتیکی ۳۰ نمونه عدس متعلق به کلکسیون دانشکده کشاورزی کرج با استفاده از نشانگر مولکولی RAPD بررسی شد. نواهای باندی براساس وجود (۱) یا نبود باند (۰) کدگذاری شد. با استفاده از ۱۵ آغازگر از بین ۵۰ پرایمر، ۱۴۳ باند قابل امتیازدهی ایجاد شد که عدد از آنها چندشکل بودند. بیشترین تعداد باند چندشکل (۱۶ باند) متعلق به آغازگر UBC611 و کمترین تعداد باند چندشکل (۵ باند) متعلق به آغازگرهای (G, B, UBC502 و J) بودند. تجزیه خوشای بروش WPGMA با ضرب تشابه Dice انجام گرفت و دندروگرام مربوط رسم شد. تجزیه خوشای، ژنوتیپ‌های مورد مطالعه را در تشابه (۰/۵۶) به چهار گروه اصلی طبقه‌بندی کرد. حد تشابه از ۰/۸۹ تا ۰/۴۴ متغیر بود. بیشترین تشابه (۰/۸۹) بین دو ژنوتیپ یونان و شیلی ۱۶ و کمترین تشابه (۰/۴۴) بین ژنوتیپ‌های شیلی ۲ و شیلی ۱۷ مشاهده شد. با توجه به نتایج می‌توان نتیجه گرفت که تنوع ژنتیکی زیادی بین ژنوتیپ‌های عدس وجود دارد و نشانگر مولکولی RAPD ابزار مناسبی برای ارزیابی تنوع ژنتیکی بین ژنوتیپ‌های عدس است.

### واژه‌های کلیدی: تجزیه کلاستر، تنوع ژنتیکی، عدس، نشانگرها RAPD

شاخص‌های مهم گزینش ژنوتیپ‌های مطلوب و انتخاب والدین در برنامه‌های اصلاحی است (Li *et al.*, 2006). مطالعه تنوع ژنتیکی فرایندی است که تفاوت یا شباهت گونه‌ها، جمعیت‌ها یا افراد را با استفاده از روش‌ها و مدل‌های آماری خاص براساس صفات مورفو‌لوزیک، اطلاعات شجره‌ای یا خصوصیات مولکولی افراد بیان می‌کند (Mohammadi & Prasanna, 2003). در گذشته، تنوع ژنتیکی گیاهان از راه تجزیه صفات مورفو‌لوزیکی یا بیوشیمیایی بررسی می‌شد. از آنجا که ژنوتیپ تحت تأثیر محیط قرار می‌گیرد، تعیین تنوع ژنتیکی به همراه روش‌های مولکولی چشم‌انداز نوینی را برای ارزیابی تنوع زیستی فراهم آورده است (Powell *et al.*, 1996). تنوع و روابط ژنتیکی بین گونه‌های مختلف عدس، اهمیت زیادی در حفاظت منابع ژنتیکی عدس و

### مقدمه

در کشورهای در حال توسعه به دلیل کمبود منابع پروتئین حیوانی و فقر اقتصادی، نیاز پروتئینی انسان‌ها از منابع گیاهی به‌ویژه حبوبات تأمین می‌شود. عدس از خانواده لگوم از قدیمی‌ترین محصولات زراعی است. عدس گیاهی است خودگشن، دیپلولئید یکساله با شاخ و برگ زیاد و انشعابات فراوان ساقه که به صورت بوته‌ای رشد می‌کند. متوسط پروتئین دانه ۲۶ درصد است. اهمیت عدس در تثبیت نیتروژن و بهبود فیزیک خاک در مناطق پرشیب است (Bamdad *et al.*, 2009).

جمع‌آوری ژرم‌پلاسم اولین قدم در راه اصلاح گیاهان است. موفقیت اصلاحگر در برنامه‌های اصلاحی به انتخاب مواد ژنتیکی مناسب و تنوع کافی در آنها بستگی دارد. ارزیابی و تعیین حد تنوع ژنتیکی یکی از

شده و به صورت  $R_P = \sum Ibi$  محاسبه می‌شود (Prevost & Wilkinson, 1999). و  $Ib$  متوسط میزان اطلاع رسانی برای هر آغازگر است.  $Ib = (\sum Ibi)/n$  که  $n$  برابر است با تعداد لوکوس‌های تکثیر شده هر آغازگر. به نظر می‌رسد  $R_P$  و  $D_P$  هر دو یک مفهوم و کاربرد را داشته باشند. چنانچه رابطه خطی معنادار و قوی بین  $R_P$  و  $D_P$  وجود داشته باشد، می‌توان از  $D_P$  به جای  $R_P$  و برعکس استفاده کرد.

این پژوهش به منظور ارزیابی تنوع ژنتیکی موجود در کلکسیون عدس بانک ژن دانشکده کشاورزی کرج با استفاده از نشانگرهای RAPD اجرا شد.

## مواد و روش‌ها

به منظور بررسی تنوع ژنتیکی در کلکسیون عدس، ۳۰ نمونه عدس به طور تصادفی انتخاب و در آزمایشگاه دانشکده کشاورزی دانشگاه ولی عصر(عج) کشت شد. نمونه برگ از گیاهان (۳/۰-۰/۲۰) گرم از هر نمونه گیاهی برداشت و DNA آنها به روش دلپورتا و همکاران استخراج شده با استفاده از روش اسپکتروفوتومتری DNA (Dellaporta *et al.*, 1983) استخراج شده با استفاده از طول موج های ۲۶۰ و ۲۸۰ نانومتر تعیین شد. نمونه‌های به کاررفته شامل ۱۶ نمونه از شیلی، یک نمونه از لبنان، یک نمونه از سوریه، دو نمونه از ترکیه، یک نمونه از یونان، یک نمونه از افغانستان، یک نمونه از اردن، یک نمونه از الجزایر، یک نمونه از مجارستان، یک نمونه از قبرس، یک نمونه از کلمبیا و سه نمونه ایرانی به نام شاهرود، قوچان و گچساران بود. ۱۵ آغازگر از بین ۵۰ آغازگر ۱۰ نوکلئوتیدی استفاده شد که ۷ پرایمر ساخت سیناژن و ۸ پرایمر ساخت Generay Bio Tech آلمان بود. واکنش PCR در حجم ۲۵ میکرولیتر حاوی ۰/۷۵ میکرولیتر از میزیم کلرید (50mM)، ۰/۵ میکرولیتر dNTP (10mM)، ۰/۲ میکرولیتر آنزیم تک پلی مراز ( $\mu$ l) و بافر PCR با غلظت ۱۰X، ۱ میکرولیتر آغازگر ۱۰ نوکلئوتیدی تقطیر تهیه شد و سپس PCR با برنامه حرارتی ۳۰ ثانیه در ۹۴ درجه سانتی گراد و برای ۴۵ سیکل: ۱ دقیقه در ۹۲ درجه سانتی گراد، ۱ دقیقه در ۳۵ یا ۳۶ درجه

پتانسیل اصلاح دارد. مطالعات نشانگرهای مولکولی سهم بزرگی در فهم ما از تنوع و ارتباط ژنتیکی در گیاهان مختلف داشتند (Abe *et al.*, 2003). فناوری نشانگرهای DNA مولکولی شامل PCR و مبتنی بر توالی‌های خاص برای شناسایی گونه‌ها و ارقام به کار برد هم شوند. یکی از نشانگرهای مولکولی برای بررسی تنوع موجود بین ارقام، نشانگر RAPD است که قدرت مناسبی برای بررسی چندشکلی بین ارقام دارد (Graham *et al.*, 1994). این تکنیک‌ها همچنین برای تخمين تنوع ژنتیکی درون و بین گونه‌ها و ارقام زراعی استفاده می‌شوند. مزیت اصلی استفاده از نشانگرهای مولکولی بر از فاصله و تنوع ژنتیکی در میان نمونه‌ها به دلیل نبود انتخاب به وجود می‌آورند (Winter & kahl, 1995).

نشانگرهای RAPD که در آنها توالی‌های DNA ژنومی با آغازگرهای کوتاه و اختیاری تکثیر می‌شود، به علت مزایایی از قبیل نامحدود بودن تعداد نوارها، استفاده نکردن از مواد رادیواکتیو، سادگی و سرعت عمل، کاربرد زیادی در ارزیابی تنوع ژنتیکی و روابط خویشاوندی پیدا کرده است (Naghavi *et al.*, 2005).

شاخص تنوع یک باند ( $Di$ ) به صورت  $1 - \sum pi^2$  تعریف می‌شود که در آن  $pi$  فراوانی  $i$  مین آلل (باند) است. شاخص تنوع برای هر پرایمر از جمع باندهای آن آغازگر  $DI = \sum Di$  و  $D_P = \sum Di/n$  می‌شود. تنوع برای هر آغازگر است که براساس Milbourne بوده و  $n$  تعداد لوکوس‌های هر آغازگر است (Milbourne *et al.*, 1997). قدرت تفکیک براساس توزیع آلل درون ژنوتیپ‌های نمونه است. ارزش یک باند از طریق تطبیق آن با شرایط ایده‌آل (۵۰ درصد ژنوتیپ‌ها دارای آن باند باشند) محاسبه می‌شود.

این ارزش را میزان اطلاع رسانی باند ( $in band$ ) گویند ( $Ibi$ ) که از صفر تا یک تغییر می‌کند و به صورت  $Ibi = 1 - [2 \times |0.5 - Pi|]$  محاسبه می‌شود که  $pi$  در آن نسبت افراد دارای باند مورد نظر است. توانایی یک پرایمر برای تشخیص و ممیزی بین تعداد زیادی از ژنوتیپ‌ها عبارت است از مجموع  $Ibi$  مربوط به لوکوس‌های مورد شناسایی آن پرایمر که به عنوان قدرت تفکیک (Resolving power) شناخته

در بررسی تنوع مورفولوژیکی و مولکولی توده‌های عدس بهوسیله نشانگر ISSR ۷۵/۹۳ درصد چندشکلی نشان دادند. متوسط شاخص تنوع (DI) یکی از معیارهای ارزیابی قدرت تمایز نشانگرها بوده و معیار دقیق‌تری نسبت به مقدار تنوع هر لوکوس است که مستقل از تعداد نمونه تحت مطالعه است. کمترین مقدار DI برای آغازگر UBC84 با مقدار ۰/۱۵ و بیشترین مقدار آن برای آغازگر I معادل ۰/۴۲ به دست آمد و این در حالی بود که متوسط شاخص تنوع برای کل ارقام و نشانگرهای بررسی شده ۰/۳۰ برآورد شد (جدول ۲). در نتیجه می‌توان گفت آغازگرهای I با بیشترین مقدار DI، بهتر از بقیه آغازگرهای استفاده شده، تفاوت ژنتیکی نمونه‌ها را تشخیص دادند و می‌توان در مطالعات بعدی به عنوان آغازگری که در تشخیص تنوع ژنتیکی مناسب است از آنها استفاده کرد. محاسبه قدرت تفکیک ( $R_p$ ) برای هر کدام از آغازگرهای استفاده شده، نشان داد که بیشترین حد قدرت تفکیک مربوط به آغازگر I و برابر با ۶/۴ و کمترین مقدار مربوط به آغازگر G ۱/۸۳ بود. آغازگرهای UBC84 و I به ترتیب دارای کمترین مقدار متوسط اطلاع‌رسانی (۰/۱۸) و بیشترین مقدار متوسط اطلاع‌رسانی (۰/۷۱) بودند. هرچه Ib و Rp مربوط به آغازگر بیشتر باشند، کارایی آغازگر در تفکیک و جداسازی ژنوتیپ‌های تحت مطالعه بیشتر است (Dhief et al., 2011). همچنین شاخص تنوع برای هر پرایمر (D<sub>P</sub>) نشان داد که بیشترین شاخص تنوع مربوط به پرایمر I، و کمترین مربوط به پرایمر G (جدول ۲) است. برای بررسی شباهت و رابطه بین D<sub>P</sub> و Rp از همبستگی (شکل ۱). در این میان پرایمر I دارای بیشترین D<sub>P</sub> و Rp به ترتیب به مقدار ۴/۲ و ۶/۴ است. در درجه بعد پرایمرهای UBC611 و UBC400 دارای بیشترین مقادیر D<sub>P</sub> و Rp هستند که می‌توان از این پرایمرها بیشتر در مطالعه پلی‌مورفیسم عدس استفاده کرد.

#### تجزیه کلاستر

ماتریس تشابه بین نمونه‌های مطالعه شده براساس داده‌های نشانگر با استفاده از ضرایب تشابه Dice تشکیل

سانتی‌گراد (با توجه به آغازگر)، ۲ دقیقه در ۷۲ درجه سانتی‌گراد و در نهایت ۵ دقیقه در ۷۲ درجه سانتی‌گراد انجام گرفت و سپس محصول واکنش بر روی ژل آگاروز ۱/۵ درصد الکتروفورز شد و رنگ‌آمیزی ژل در محلول اتیدیوم بروماید انجام گرفت و با استفاده از ژل داک عکس‌برداری شد. تصاویر حاصل از ژل‌ها بررسی شد و باندها براساس حضور و نبود، به کد ۰ و ۱ تبدیل شد و توسط نرم‌افزار NTSYS, Ver.2.02e (Rohlf, 1998) ماتریس تشابه محاسبه شد و براساس تجزیه خوشای بوده است آمده به روش WPGMA تنوع ژنتیکی مورد مطالعه قرار گرفت.

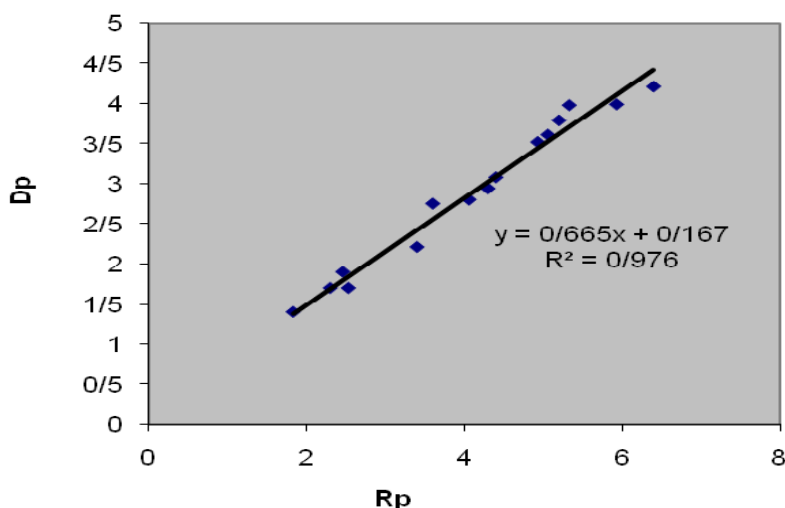
#### نتایج و بحث

##### تجزیه اطلاعات باندی پرایمرها

۱۵ آغازگر تصادفی در ۳۰ نمونه گیاه عدس، ۲۰۸۸ باند تولید کردند که از ۱۴۳ مکان ژنی تکثیر شدند (جدول ۱). ۱۳۷ مکان چندشکل بودند. (به طور متوسط هر آغازگر ۱۰ مکان را شناسایی و تکثیر کرد که آغازگر UBC611 با ۱۶ مکان و بعد از آن، آغازگرهای UBC582 و UBC76 با ۱۳ مکان، بیشترین مکان؛ و آغازگرهای G و B با ۵ مکان، کمترین مکان را تکثیر کردند). همچنین میانگین تعداد مکان چندشکل ۹/۱۳ بود که ۱۶ مکان متعلق به آغازگر ۱۳ UBC611 و مکان مربوط به آغازگر ۲ UBC582 بود. کمترین تعداد باند برای آغازگرهای G، B، و J با ۵ باند مشاهده شد. میانگین تعداد باندهای چندشکلی مشاهده شده در این تحقیق (۹/۱۳) نسبت به میانگین تعداد باندهای چندشکل به دست آمده توسط فرد و همکاران (Ford et al., 1997) بیشتر است. درصد چندشکلی به دست آمده (جدول ۱) از ۷۱/۴ درصد برای (UBC502) تا ۱۰۰ UBC611، UBC66، UBC582، UBC77.I.F درصد برای (D, E, B, G, UBC400, UBC611, UBC66, UBC582, UBC77.I.F) متغیر بود که آغازگرهایی که صدرصد چندشکلی نشان دادند بیانگر تنوع زیاد نمونه‌های عدس و قدرت زیاد این آغازگرهای در تفکیک ژنوتیپ‌ها است. یوزباشی اوغلو و همکاران (Yüzbasioglu et al., 2006) در بررسی تنوع ژنتیکی برخی نمونه‌های عدس بهوسیله RAPD، درصد چندشکلی را ۵۴ درصد گزارش کردند. فیکیرو و همکاران (Fikiru et al., 2011)

حد نزدیکی و دوری ژنتیکی آنها نسبت به یکدیگر است. با توجه به مقادیر تشابه بین نمونه‌ها می‌توان نتیجه‌گیری کرد که تلاقی بین نمونه‌هایی با کمترین تشابه (بیشترین فاصله) انجام‌پذیر است. در مطالعه فرد و همکاران (Ford *et al.*, 1997) دامنه ضریب عدم تشابه از ۹ درصد تا ۴۶ درصد متغیر بود.

شد (جدول ۳). استفاده از ماتریس تشابه می‌تواند به منظور شناسایی و درک بهتر شباهت‌ها و تفاوت‌ها در میان توده‌های تحت بررسی بسیار مؤثر باشد. میانگین ضرایب تشابه برابر  $0/07$  و دامنه آن از  $0/04$  تا  $0/089$  متغیر بود. بیشترین تشابه بین نمونه‌های یونان و شیلی  $16/00$  و کمترین تشابه بین نمونه‌های شیلی  $17/00$  و شیلی  $2/00$  مشاهده شد که بهترتب نشان‌دهنده



شکل ۱. رگرسیون شاخص تنوع ( $D_p$ ) بر روی قدرت تفکیک ( $R_p$ )

جدول ۱. آغازگرهای استفاده شده، توالی، تعداد کل باند، تعداد مکان تکثیر شده، متوسط باند در مکان، تعداد مکان‌های چندشکل و درصد چندشکلی

نام	توالی پرایمر	تعداد کل باند	تعداد مکان تکثیر شده	متوسط باند در مکان	تعداد مکان‌های چندشکل	درصد چندشکلی
F	5'-CCCACTGACG-3'	178	9	19/77	9	100
I	5'-GCGGGAGACC-3'	104	9	11/55	9	100
UBC77	5'-GAGCACCAAG-3'	174	11	15/81	11	100
UBC582	5'-GGTATAGACG-3'	144	13	11/07	13	100
UBC66	5'-GAGGGCGTAGA-3'	145	9	16/11	9	100
UBC502	5'-GCATGGTAGC-3'	164	7	22/4	5	71/4
UBC611	5'-CCATCGTACC-3'	183	16	11/43	16	100
UBC400	5'-GCCCTGATAT-3'	123	12	10/25	12	100
UBC76	5'-GAGCACCAAGT-3'	157	13	12/07	12	92/3
UBC84	5'-GGGCGCGAGT-3'	148	10	14/8	8	80
G	5'-CTGAGGAGTG-3'	86	5	17/2	5	100
B	5'-GCGTCACAAG-3'	97	5	19/4	5	100
J	5'-CCTCACCTGT-3'	70	6	11/66	5	83/33
E	5'-ACTTGTGCGG-3'	105	8	13/12	8	100
D	5'-TGGGCTCGT-3'	210	10	21	10	100
جمع کل		2088	143	137		

\*آغازگرهای E و F، I، G، B، J، E و D ساخت شرکت سیناژن و آغازگرهای UBC ساخت شرکت Generay Bio Tech آلمان

مطابقت بسیار خوب ماتریس تشابه و ماتریس حاصل از دندروگرام است (Mohammadi & Prasanna *et al.*, 2003).

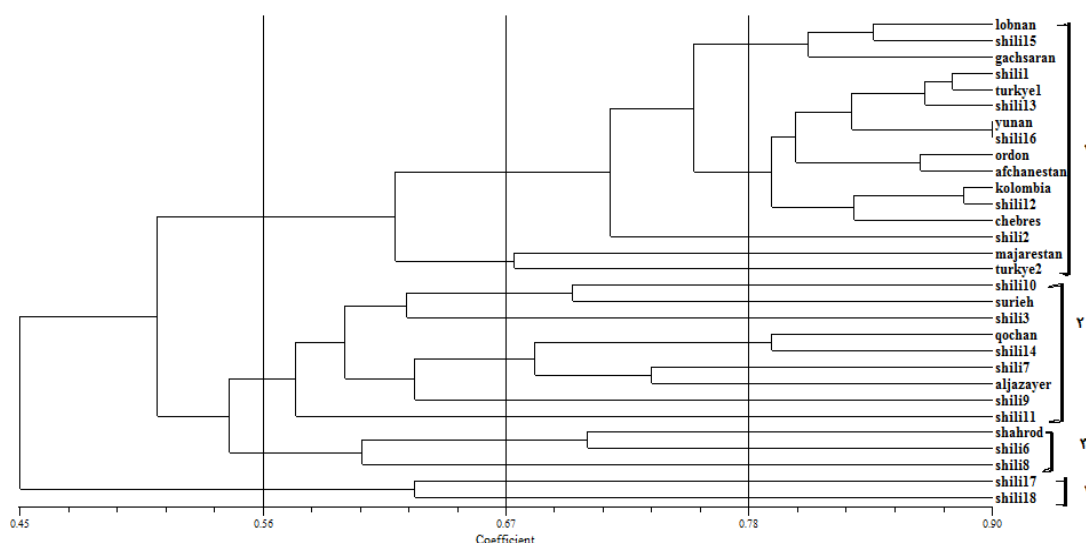
تجزیه خوشای براساس ماتریس تشابه به روش WPGMA انجام گرفت و دندروگرام آن رسم شد (شکل ۲). ضریب کوفنتیک به مقدار  $r_{coph}=0/87$  بیانگر

جدول ۲. آغازگرهای استفاده شده، شاخص تنوع برای هر پرایمر، متوسط شاخص تنوع برای هر پرایمر، قدرت تفکیک و متوسط میزان اطلاع رسانی برای هر آغازگر

پرایمر	شاخص تنوع برای هر پرایمر (D <sub>P</sub> )	متوجه شاخص تنوع برای هر پرایمر (DI)	قدر تفکیک (R <sub>P</sub> )	متوسط میزان اطلاع رسانی برای هر آغازگر (lb)
F	۳/۰۸	۰/۳۴	۴/۴	۰/۴۸
I	۴/۲۱	۰/۴۶	۶/۴	۰/۷۱
UBC77	۳/۵۲	۰/۳۲	۴/۹۳	۰/۴۴
UBC582	۳/۷۹	۰/۲۹	۵/۲	۰/۴
UBC66	۲/۸	۰/۳۱	۴/۰۶	۰/۴۵
UBC502	۱/۷	۰/۱۷	۲/۳	۰/۲۳
UBC611	۳/۹۸	۰/۲۴	۵/۳۳	۰/۳۲
UBC400	۳/۹۹	۰/۳۳	۵/۹۳	۰/۴۹
UBC76	۲/۷۵	۰/۲	۳/۶	۰/۲۴
UBC84	۱/۸۳	۰/۱۵	۲/۴۶	۰/۱۸
G	۱/۴	۰/۲۸	۱/۸۳	۰/۳۴
B	۲/۲۱	۰/۴۲	۳/۴	۰/۶۸
J	۱/۷	۰/۲۸	۲/۵۳	۰/۴۲
E	۲/۹۴	۰/۳۶	۴/۳	۰/۵۴
D	۳/۶۱	۰/۳۶	۵/۰۶	۰/۵
میانگین	۳/۰۲	۰/۳۰	۴/۰۹	۰/۴۲۸

وجود داشت. این دو ژنوتیپ، از لحاظ ژنتیکی بسیار شبیهند، ولی از مناطق جغرافیایی جداگانه‌ای‌اند که دلیل آن ممکن است معرفی از کشوری به کشور دیگر باشد.

براساس گروه‌بندی تجزیه خوش‌های و با ترسیم خط برش در تشابه ۰/۵۶، ۳۰ نمونه عدس تحت مطالعه در چهار گروه قرار داده شد (شکل ۲). گروه‌های یک تا پنج شامل ۱۶، ۹، ۳، ۲ نمونه بودند. در گروه یک بیشترین شباهت ژنتیکی بین نمونه‌های شیلی ۱۶ و یونان (۰/۸۹)



شکل ۲. گروه‌بندی ژنوتیپ‌های عدس با استفاده از ضریب تشابه دایس به روش WPGMA براساس نشانگر RAPD

اینکه از این ۳۰ نمونه ۱۶ نمونه از شیلی است، به احتمال زیاد نمونه‌های کشورهای دیگر نمونه‌هایی‌اند که از شیلی به آنجا معرفی شده باشند یا در آنجا از داخل

نکته‌ای که در دندروگرام مشاهده می‌شود این است که چهار گروه مشاهده شده در تشابه ۰/۵۶ همه در داخل خود چند نمونه از شیلی را دارند و با توجه به

توده‌های متفاوتی انتخاب شده‌اند. با توجه به نتایج بالا، تنوع مولکولی با تنوع جغرافیایی همخوانی ندارد و بین تنوع مولکولی و پراکنش جغرافیایی ارتباطی وجود ندارد که بیشتر بررسی‌ها در زمینه تنوع فنوتیپی و ژنتیکی عدس، این نتیجه را بیان کرده‌اند.

نمونه‌های شیلی انتخاب شده‌اند و به نام کشور میزبان نامگذاری شده‌اند. کمترین تشابه (۰/۴۴) مربوط به شیلی ۱۷ و شیلی ۲ است (جدول ۳) که شاید بتوان دلیل آن را این گونه توجیه کرد که اگرچه هر دو از شیلی‌اند، احتمالاً منشأ متفاوتی دارند و از درون

جدول ۳. ماتریس تشابه ژنتیکی‌های عدس مبتنی بر نشانگرهای RAPD

۱	۲	۳	۴	۵	۶	۷	۸	۹	۱۰	۱۱	۱۲	۱۳	۱۴	۱۵	۱۶	۱۷	۱۸	۱۹	۲۰	۲۱	۲۲	۲۳	۲۴	۲۵	۲۶	۲۷	۲۸	۲۹	۳۰	
۱	۱																													
۱	۰/۷۳	۲																												
۱	۰/۷۵	۰/۸۴	۳																											
۱	۰/۷۸	۰/۷۶	۴																											
۱	۰/۷۰	۰/۶۶	۵																											
۱	۰/۶۹	۰/۸۰	۰/۸۳	۶																										
۱	۰/۷۷	۰/۸۴	۷																											
۱	۰/۷۸	۰/۸۱	۸																											
۱	۰/۸۶	۰/۸۳	۹																											
۱	۰/۷۸	۰/۷۴	۱۰																											
۱	۰/۷۱	۰/۸۹	۱۱																											
۱	۰/۷۴	۰/۷۲	۱۲																											
۱	۰/۷۴	۰/۷۰	۱۳																											
۱	۰/۷۰	۰/۷۳	۱۴																											
۱	۰/۷۰	۰/۷۰	۱۵																											
۱	۰/۷۹	۰/۸۲	۱۶																											
۱	۰/۷۰	۰/۷۸	۱۷																											
۱	۰/۷۱	۰/۸۰	۱۸																											
۱	۰/۷۰	۰/۸۲	۱۹																											
۱	۰/۷۵	۰/۷۶	۲۰																											
۱	۰/۷۰	۰/۷۸	۲۱																											
۱	۰/۷۴	۰/۷۴	۲۲																											
۱	۰/۷۸	۰/۷۴	۲۳																											
۱	۰/۷۰	۰/۷۸	۲۴																											
۱	۰/۷۱	۰/۷۱	۲۵																											
۱	۰/۷۰	۰/۷۱	۲۶																											
۱	۰/۷۰	۰/۷۲	۲۷																											
۱	۰/۷۰	۰/۷۲	۲۸																											
۱	۰/۷۱	۰/۷۲	۲۹																											
۱	۰/۷۰	۰/۷۳	۳۰																											

توجیه شده در تجزیء مختصات اصلی نمونه‌های عدس با استفاده از آغازگر RAPD در جدول ۴ نشان داده شده است. مقدار واریانس نسبی هر مؤلفه، نشان‌دهنده اهمیت آن مؤلفه در واریانس کل است و به صورت درصد بیان می‌شود. در این تجزیه، ۱۲ مؤلفه اول توانستند در مجموع ۷۱/۹۹ درصد از واریانس کل را توجیه کند (جدول ۳). دو مؤلفه اول در مجموع ۲۲/۹۰ درصد از

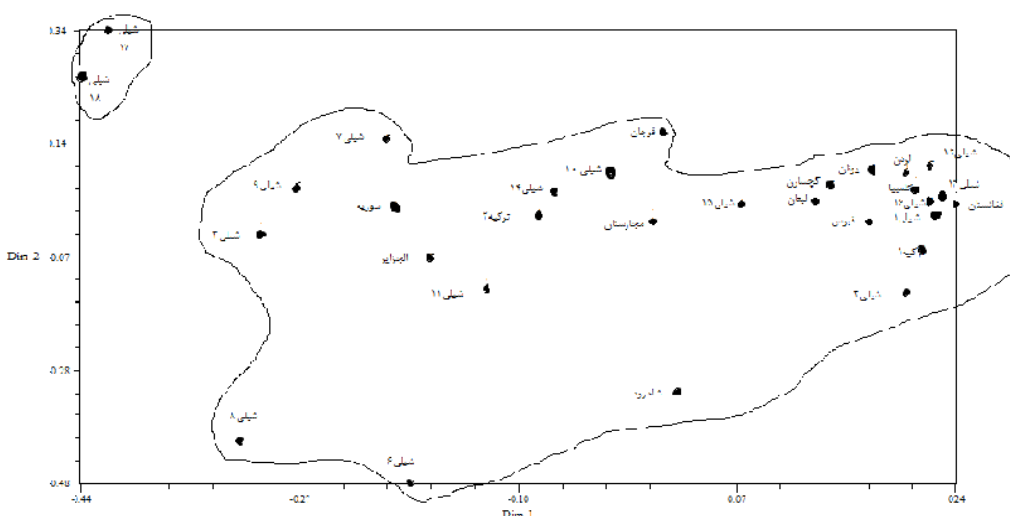
تجزیه به مختصات تجزیه مختصات اصلی در بیان تنوع ژنتیکی براساس صفات کیفی کاربرد زیادی دارد و با استفاده از آن می‌توان الگوهای تنوع را به صورت چندبعدی نشان داد و تفسیر بیشتر در مورد ارتباط بین افراد را ممکن کرد (Khayam Nekouei et al., 2009). بردارها، ریشه‌های مشخصه، نسبت واریانس توجیه شده و جمع کل واریانس

چقامیرزا در نخود مشابه بود، به طوری که نتایج آنان نشان داد توجیه بخش کمتری از تنوع کل توسط چند مؤلفه اول و توزیع واریانس بین مؤلفه‌ها، بیانگر توزیع مناسب نشانگرها در ژنوم است. تجزیه به مختصات اصلی نتایج حاصل از تجزیه خوش‌های را تقریباً تأیید کرد (شکل ۳). گروه‌بندی براساس دو بردار اول تجزیه مختصات اصلی، تا حد زیادی مشابه گروه‌بندی تجزیه خوش‌های در تشابه ۰/۵۱ بود و تفاوت‌های مشاهده شده، به این دلیل است که دو مؤلفه اول نشان‌دهنده درصد واریانس کمی از واریانس کل هستند.

واریانس کل را توجیه کردند. مطابق انتظار مؤلفه اول بیشترین سهم را در توجیه تغییرات دارد که ۱۴/۱۵ درصد بود و سهم مؤلفه دوم ۸/۷۵ درصد بود. تعداد مؤلفه‌های زیاد در ماتریس تشابه را می‌توان انعکاسی از توزیع پراکنش لوکوس‌های شناسایی شده توسط پرایمرها در کل ژنوم عدس دانست که موجب بیان پلی‌مورفیسم بیشتر شده‌اند. این بهترین حالت در بررسی تنوع ژنتیکی با استفاده از داده‌های مولکولی است، زیرا نشانگرهای مولکولی از کروموزوم‌های مختلف انتخاب شده است و توزیع مناسب و یکنواخت در ژنوم دارد (Hajmansoor *et al.*, 2010). نتایج به دست آمده با یافته‌های فاضلی و

جدول ۴. بردار، مقادیر ویژه، سهم واریانس توجیه شده و سهم تجمعی واریانس توجیه شده در تجزیه مختصات اصلی ژنتیپ‌ها با استفاده از آغازگر RAPD

بردار	ریشه مشخصه	سهم واریانس توجیه شده	سهم تجمعی واریانس توجیه شده
۱	۱,۳۳	۱۴,۵	۱۴,۱۵
۲	۰,۸۲	۸,۷۵	۲۲,۹۰
۳	۰,۷۰	۷,۴۷	۲۰,۳۸
۴	۰,۶۴	۶,۸۸	۳۷,۲۷
۵	۰,۵۲	۵,۵۲	۴۲,۷۹
۶	۰,۴۹	۵,۲۴	۴۸,۰۴
۷	۰,۴۷	۵,۰۶	۵۳,۱۰
۸	۰,۴۱	۴,۴۴	۵۷,۵۵
۹	۰,۳۸	۴,۰۷	۶۱,۶۳
۱۰	۰,۳۴	۳,۶۸	۶۵,۳۱
۱۱	۰,۳۳	۳,۵۳	۶۸,۸۵
۱۲	۰,۲۹	۲,۱۴	۷۱,۹۹



شکل ۳. نمودار دوبعدی تجزیه به مؤلفه‌ها برای ژنتیپ‌های عدس براساس نشانگرهای RAPD

ژنتیپ‌های شیلی ۱۷ و شیلی ۲ نسبت به سایر ژنتیپ‌ها فاصله ژنتیکی بیشتری نشان دادند، بنابراین می‌توان با مطالعات تکمیلی و شناسایی بیشتر این ژنتیپ‌ها، از آنها به عنوان والدین در دورگ‌گیری برای تولید ارفاع هیبرید

#### نتیجه‌گیری کلی

نتایج این بررسی حاکی از تنوع زیاد در بین ژنتیپ‌های عدس و مناسب بودن نشانگر مولکولی RAPD برای ارزیابی تنوع ژنتیکی بین ژنتیپ‌های عدس است.

### سپاسگزاری

از بانک ژن دانشکده کشاورزی کرج سپاسگزاریم.

استفاده کرد. شاخص‌های  $R_P$  و  $D_P$  ابعاد یکسانی از بک پرایمر را در بیان پلی‌مورفیسم و تفکیک افراد یک گونه نشان می‌دهند و کاربرد یکسان دارند.

## REFERENCES

1. Abe, J., Xu, D. H., Suzuki, Y., Kanazawa, A. & Shimamoto, Y. (2003). Soybean germplasm pools in Asia revealed by nuclear SSRs. *Theoretical and Applied Genetics*, 106, 445–453.
2. Abo-Elwafa, A., Muraik, K. & Shimada, T. (1995). Intra- and inter-specific variation in Lens species revealed by RAPD markers. *Theoretical and Applied Genetics*, 90, 33-340.
3. Alabboud, I., Lizica, Gh. & Roman, V. (2009). Assesment of genetic diversity in lentil as revealed by RAPD marker. *Plant Molecular Biology Reporter*, 7, 101-111.
4. Bamdad, F. Dokhani, S. & Keramat, J. (2009). Functional assessment and Subunit constitution of lentil (*lens culinaris*) protein during germination. *International Journal of Agriculture & Biology*, 6, 690-694.
5. Dellaporta, S. L. Wood, J. & Hicks, J. B. (1983). A plant DNA mini-preparation. *Plant Molecular Biology Reporter*, 1, 19.
6. Dhieb, A., Ferdaws, G., Tibra, T., Neffati, M. & Samir, A., (2011). Natural genetic variation in *Calligonum* Tunisian genus analyzed by RAPD markers. *African Journal of Biotechnology*, 10, pp. 9766-9778.
7. Fazely, F. & cheghamirza, K. (2011). Genetic variation in iranian Chickpea (*Cicer arietinum* L.) Kabuli type based on agronomic traits and RAPD marker. *Seed and Plant Improvement Journal*, 1-27, 555-579 .(In Farsi)
8. Fikiru, E., Tesfaye, K. & Bekele, E. (2011). Morphological and molecular variation in Ethiopian lentil (*Lens culinaris* Medikus) varieties. *International Journal of Genetics and Molecular Biology*. 3, 60-67.
9. Ford, R. Pang, E. C. K. & Taylor, P. W. J. (1997). Diversity analysis and species identification in Lensusing PCR generated markers. *Euphytica*, 96, 247–255 .
10. Graham, G. C., Henry, R. J. & Redden, R. J. (1994). Identification of navy bean varieties using random amplification of polymorphic DNA . *Australian Journal of Exprimental Agriculture*, 34, 1173-1176.
11. Hajmansoor, Sh., Bihamta, M. R Nabipor, A. R A. Mohammadi, S. M. Persyediand H. R. Nickhah. (2010). Genetic Diversity in Barley Genotypes: II. Microsatellite Markers and Morphological Traits. *Seed and Plant Improvement Journal*, 26-1, 150-171.(In Farsi)
12. Khayam Nekouei, M., Jahantighi, R., Solouki, M. Mohammadi, R. & Emamjomeh, A. A. (2009). Study on genetic diversity of tall fescue (*Festuca arundinacea Schreb.*) genotypes using AFLP marker. *Journal Agricultural Sciences and Natural Resource*, 16, 1.(In Farsi)
13. Li, J. J., Pei, G. L., Pang, H. X., Bilderbeck, A., Chen, S. S. & Tao, S. H. (2006). A new method for RAPD primers selection based on primers bias in nucleotide sequence data. *Journal of Biotechnology*, 126, 415-423.
14. Milbourne, D., Meyer, R., Bradshaw, J. E., Baird, E., Bonar, N., Provan, J., Powell, W. & Waugh, R. (1997). Comparison of PCR-based marker systems for the analysis of genetic relationship in cultivated potato. *Molecular Breeding*, 3, 127-136.
15. Mohammadi, S. A. & Prasanna, B. M. (2003). Analysis of genetic diversity in crop plants: Salient statistical tools and considerations. *Crop Science*, 43, 1235-1248.
16. Naghavi, M. R., Gareyazi, B. & Hosseini Salekdeh, B. (2005). *Molecular Markers*. University of Tehran Press, Tehran, Iran. 334pp. (In farsi).
17. Powell, W., Morgante, M., Andre, C., Hanafey, M., Vogel, J., Tingey, S. & Rafalski, A. (1996). The comparison of RFLP, RAPD, AFLP and SSR markers for gerplasm analysis. *Molecular Breeding*, 2, 225-238.
18. Prevost, A. & Wilkinson, M. J. (1999). A new system of comparing PCR pprimers applied to ISSR fingerprinting of potato cultivars. *Theoretical and Applied Genetics*, 98, 107-112.
19. Rohlf, F. J. (1998). NTSYS-pc, Numerical Taxonomy and Multivariate Analysis System, Version 2.02. Exeter Software, New York
20. Sharma, S. K. Knox, M. R. & Ellis, T. H. N. (1996). AFLP analysis of the diversity and phylogeny of Lens and its comparasion with RAPD analysis. *Theoretical and Applied Genetics*, 93, 751-758.
21. Winter, P. & Kahl, G. (1995). Molecular marker technologies for crop improvement. *World Journal of Biotechnology*, 11, 449–460.
22. Yüzbasioglu, E., Özcan, S. & Açık, L. (2006). Analysis of genetic relationships among Turkish cultivars and breeding lines of lens culinatis Mestile using RAPD markers. *Genetic Resources and Crop Evolution*, 53, 507-514.